

# بررسی ویژگی‌های ساختاری و الکترونی ترکیب‌های CuSbX<sub>2</sub>(X=Se,S,Te) و AgGaX<sub>2</sub>(X=Se,S,Te)

## با استفاده از نظریه تابعی چگالی

حمدالله صالحی\*<sup>+</sup>، الهام گردانیان، روح الله زارع حسن آباد

گروه فیزیک، دانشکده علوم، دانشگاه شهید چمران اهواز، اهواز، ایران

**چکیده:** در این مطالعه ویژگی‌های ساختاری از جمله ثابت‌های شبکه، مدول حجمی و الکترونی ترکیب‌های CuSbX<sub>2</sub> (X=Se,S,Te) و AgGaX<sub>2</sub> (X=Se,S,Te) در حالت انبوه در چارچوب نظریه تابعی چگالی و روش موج‌های تخت بهبود یافته خطی با پتانسیل کامل (FP-LAPW) با استفاده از نرم‌افزار Wien2k محاسبه شده است. هم‌چنین برای بررسی ویژگی‌های الکترونی این ترکیب‌ها، چگالی حالت‌های کل، ساختار نواری، چگالی حالت‌های جزیی و چگالی ابر الکترونی رسم شده‌اند. نتیجه‌های به دست آمده نشان می‌دهد که هر سه ترکیب نیم‌رسانا دارای گاف مستقیم در نقطه  $\Gamma$  می‌باشد. با توجه به چگالی ابر الکترونی و چگونگی توزیع ابر الکترونی در اطراف اتم‌ها، نشان می‌دهد که پیوند بین اتم‌ها در ترکیب‌های CuSbX<sub>2</sub> (X=Se,S,Te) و AgGaX<sub>2</sub> (X=Se,S,Te) کووالانسی است. هم‌چنین با استفاده از منحنی‌های چگالی حالت‌ها، چگونگی هم‌پوشانی اریتال‌ها بیان شده‌اند. از سویی با رسم نمودار ساختار نواری ترکیب‌ها با تقریب‌های گوناگون برای انرژی تبادلی - همبستگی، میزان و دقت گاف‌های نواری ترکیب‌ها مشخص شده است که نتیجه‌های به دست آمده با دیگر نتیجه‌های تجربی موجود سازگار می‌باشد.

**واژه‌های کلیدی:** کلکوپریت؛ کلکوژنید؛ ویژگی‌های ساختاری؛ ویژگی‌های الکترونی؛ نظریه تابعی چگالی.

**KEYWORDS:** Chalcopyrite; Chalcogenide; Electronic properties; Structural properties; DFT.

### مقدمه

از سویی ترکیب‌های I-III-IV<sub>2</sub> برای تشکیل پیوندگاه (p-n) با ترکیب‌های II-VI مناسب هستند زیرا ساختار آن‌ها به یکدیگر نزدیک می‌باشد که آن‌ها را برای تولید سلول‌های خورشیدی مناسب می‌کند. اولین مطالعه‌ها در مورد ساختار نواری نیم‌رساناها بیان شده در میانه‌های سال ۱۹۵۰ میلادی صورت گرفته است [۱، ۲]. ترکیب‌های CuSbX<sub>2</sub> (X=Se,S,Te) دارای ویژگی‌های ترموالکتریکی هستند که برای بسیاری از کاربردها مانند یخچال‌های کوچک و مولدهای ترموالکتریکی در سال‌های اخیر

بررسی ویژگی‌های نیم‌رساناها به دلیل کاربرد فراوان آن‌ها در فناوری یکی از مبحث‌های مهم می‌باشد. تاکنون مطالعه‌های بسیاری چه به صورت تجربی و چه محاسباتی درمورد نیم‌رساناها گوناگون مانند III-V انجام شده اما در مورد نیم‌رساناها کلکوپریت I-III-VI<sub>2</sub> مطالعه‌ی چندانی به شکل محاسباتی صورت نگرفته است. برخی از این مواد کاربردهای ولتاوری دارند و در تهیه سلول‌های خورشیدی نقش بازی می‌کنند و هم‌چنین به دلیل ویژگی‌های نوری و الکترونی ویژه‌شان مورد توجه قرار گرفته‌اند.

\* عهده دار مکاتبات

+E-mail: salehi\_h@scu.ac.ir

یک الکترون‌ولت می‌باشد. کلکوژنیدهای نیمرسانی سه‌تایی  $\text{CuSbX}_2(\text{X}=\text{Se}, \text{S}, \text{Te})$  به روش همگوشی مستقیم سنتز و ویژگی‌های ساختاری آن‌ها در حالت پودری و لایه‌نازک به‌وسیله‌ی پراش پرتو  $\text{x}$  مورد مطالعه قرار گرفته است[۱۲]. در این پژوهش برای بررسی ویژگی‌های الکترونی از تقریب‌های GGA، LDA، GGA، انگل-وسکو و پتانسیل تبادلی بکه-جانسون استفاده شده است.

## بخش نظری

### توصیف روش محاسبه‌ها

برای انجام محاسبه‌ها از کد Wien2k [۱۳] که بر مبنای نظریه‌ی تابعی چگالی استوار می‌باشد، استفاده شده و برای حل معادله‌های کوهن-شم حاکم بر مسئله، روش امواج تخت بهبودیافته‌ی خطی با پتانسیل کامل به کار رفته است. همچنین برای محاسبه‌ی ویژگی‌های ساختاری هر سه ترکیب  $\text{AgGaX}_2(\text{X}=\text{S}, \text{Se}, \text{Te})$  در حالت انبووه از تقریب‌های GGA(PBE)، GGA(WC) [۱۴] و LDA [۱۵] استفاده شده است. در محاسبه‌ی حالت انبووه هر سه ترکیب، با استفاده از همگرایی انرژی پارامتر  $RK_{\max}$  برابر با ۸ پارامتر عامل ترکیب برابر با ۰.۲ و دقت همگرایی باربر با ۰.۰۰۰۱ در نظر گرفته شده است میزان انرژی جداسازی بader نظر گرفتن میزان بار خارج کره‌های ماقنین - تین برابر با ۷ - ریدبرگ قرار داده شده است و در نظر گرفتن اثر اسپین در محاسبه‌هله تغییری در نتیجه‌ها به‌دست نیامد. همچنین در ترکیب‌ها  $\text{CuSbX}_2(\text{X}=\text{Se}, \text{S}, \text{Te})$  میزان انرژی جداسازی ۸ - ریدبرگ در نظر گرفته شد. محاسبه‌های خودسازگار بدون در نظر گرفتن برهمنکش اسپین - مدار با تعیین دقت همگرایی انرژی ۰.۰۰۰۱، ریدبرگ، بار ۱، و نیرو ۱ mRy/bohr انجام شده‌اند.

### بهینه‌سازی پارامترهای محاسباتی

با استفاده از معادله‌ی مورناگون نمودار انرژی بر حسب حجم به ازای  $k$ -های گوناگون رسم و مقدار  $k$  برای هر سه ترکیب به ازای  $k$ -های ۷×۷×۷  $\text{AgGaX}_2(\text{X}=\text{S}, \text{Se}, \text{Te})$  با تقریب GGA، شبکه‌ی ۴۰۰ معادل با ۴۰۰ نقطه‌ی کاوهش ناپذیر به‌دست آمد. در مورد ترکیب‌های  $\text{CuSbX}_2(\text{X}=\text{Se}, \text{S}, \text{Te})$  نیز از روی نمودار تغییرهای انرژی بر حسب مقدار  $k$ -point ۸۰۰ به عنوان تعداد نقطه‌ی بهینه  $k$  به دست آمده که این مقدارها با تقریب‌های گوناگون در جدول ۱ آورده شده است.

(۱) Silver thiogallate

(۲) Heyd-Scuseria-Ernzerhof

مورد توجه قرار گرفته‌اند. این دسته از ترکیب‌ها در ساختار ارتورومبیک لایه‌ای متبلور می‌شوند و بعضی از آن‌ها دارای گاف نواری باریک هستند. ساختارهای کلکوپریت  $\text{AgGaX}_2(\text{X}=\text{S}, \text{Se}, \text{Te})$  به دلیل ویژگی‌های اپتیکی غیرخطی و فوتونیکی کاربرد دارند و از این ترکیب‌ها در تولید لیزرهای فروسرخ به طور گسترش استفاده شده است[۳،۴]. از جمله ترکیب‌ها  $\text{AgGaX}_2(\text{X}=\text{S}, \text{Se}, \text{Te})$  تایوگلیت نقره<sup>(۱)</sup> است که به دلیل ثابت‌های اپتیکی بزرگ، گسیل بالا در محدوده فروسرخ، آستانه صدمه دیدگی بالا، ثابت جذب و پراکندگی اپتیکی بالا، از آن در سامانه‌های فروسرخ استفاده می‌شود[۴]. این ماده دارای گاف اپتیکی ۲.۷۵ الکترون‌ولت و گاف نواری ۲.۵۱ الکترون‌ولت می‌باشد که در فشار صفر تا ۵ گیگاپاسکال دارای فاز کلکوپریت و در فشار ۱۵ تا ۲۵ گیگاپاسکال فاز ارتورومبیک دیده می‌شود [۵-۷]. همچنین در سال ۲۰۰۴ میلادی ویژگی‌های الکترونی و اپتیکی این سه ترکیب با استفاده از نرم افزار CASTEP محاسبه شده است[۸،۹]. از ترکیب‌های ترموالکتریکی می‌باشند. ویژگی‌های تجربی و نظری این ترکیب‌ها به صورت محدود مطالعه شده است که از میان ترکیب‌های بالا  $\text{CuSbX}_2(\text{X}=\text{S}, \text{Se}, \text{Te})$  نیمرسانا هستند و دارای خاصیت آشکارسازهای فروسرخ استفاده می‌شود. برخی از ترکیب‌های  $\text{CuSbX}_2(\text{X}=\text{S}, \text{Se}, \text{Te})$  نیمرسانا می‌باشند. مطالعه‌های نظری انجام گرفته روی این ترکیب‌ها بهجز ترکیب  $\text{CuSbS}_2$  محدود می‌باشد. ویژگی‌های ساختاری، الکترونی و نوری ترکیب  $\text{CuSbS}_2$  و  $\text{CuBiS}_2$  با استفاده از نظریه تابعی چگالی و بسته محاسباتی Vasp توسط موکشن کوماریا با تقریب‌های HSE<sup>(۲)</sup> و GGA(PBE)<sup>(۳)</sup> مورد بررسی قرار گرفته است و این ترکیب‌ها دارای گاف نواری غیرمستقیم  $E_g \approx 1.7-1.5$  eV هستند[۱۰]. گزارش شده است که با نتیجه‌های تجربی و نظری موجود همخوانی دارد[۱۰]. در میان این ترکیب‌ها  $\text{CuSbSe}_2$  تنها دارای فاز ارتورومبیک با گروه فضایی  $pnma62$  است. ساختار الکترونی و نوری ترکیب‌ها  $\text{CuSbS}_2$  با استفاده از کد محاسباتی Vasp و تقریب‌های GGA(PBE) و HSE06 مورد مطالعه قرار گرفته است[۱۱]. کلکوژنیدها جاذب نور بوده و تهییه آن‌ها ارزان است. همچنین گاف انرژی این دسته از مواد کوچک و از مرتبه

(۲) Generalized Gradient Approximation (GGA)

(۳) Local Density Approximation (LDA)

جدول ۱- مقدارهای بهینه شده  $k$  برای همه ترکیب‌ها با استفاده از تقریب‌های گوناگون.

ترکیب	$\text{CuSbS}_2$		$\text{CuSbSe}_2$		$\text{CuSbTe}_2$		$\text{AgGaX}_2(\text{X}=\text{S}, \text{Se}, \text{Te})$		
تقریب	LDA	GGA	LDA	GGA	LDA	GGA	WC	LDA	GGA
k-point	۱۱۰۰	۸۵۰	۱۰۰۰	۸۰۰	۱۲۰۰	۸۰۰	۲۵۰	۲۵۰	۲۵۰

جدول ۲- مقدار بهینه  $\text{RK}_{\max}$  برای همه ترکیب‌ها با استفاده از تقریب‌های گوناگون.

ترکیب	$\text{CuSbS}_2$		$\text{CuSbSe}_2$		$\text{CuSbTe}_2$		$\text{AgGaX}_2(\text{X}=\text{S}, \text{Se}, \text{Te})$		
تقریب	LDA	GGA	LDA	GGA	LDA	GGA	WC	LDA	GGA
$\text{RK}_{\max}$	۱۰	۸	۹,۵	۸	۹	۷,۵	۸	۷,۵	۷,۵

نسبت به تقریب‌های LSDA و GGA-WC از PBEsol انرژی پایدارترین ساختارا برای ترکیب  $\text{CuSbSe}_2$  پیش‌بینی می‌نماید. در مورد ترکیب‌های  $\text{CuSbSe}_2$ ,  $\text{CuSbS}_2$  و  $\text{CuSbTe}_2$  دیده می‌شود ( $\text{U}=6,5\text{eV}$ )  $\text{GGA+U}$  ثابت‌های شبکه به دست آمده با تقریب  $\text{GGA+U}$  همخوانی و سازگاری بهتری با نتیجه‌های تجربی دارد. بنابراین در ادامه نیز نتیجه‌های به دست آمده از ویژگی‌های الکترونی و اپتیکی با تقریب  $\text{GGA+U}$  محاسبه و نشان داده می‌شود.

### ب: ویژگی‌های الکترونی ترکیب‌های $\text{AgGaX}_2(\text{X}=\text{S}, \text{Se}, \text{Te})$ و $\text{CuSbX}_2(\text{X}=\text{S}, \text{Se}, \text{Te})$

در مورد ترکیب‌های  $\text{AgGaX}_2(\text{X}=\text{S}, \text{Se}, \text{Te})$  برای انجام همه‌ی محاسبه‌ها نخست با واهلش هر سه ساختار، نیروها به کمتر از ۲  $\text{mRy}/\text{bohr}$  پس از واهلش؛ طول پیوند‌ها کاهش یافته اند که در جدول ۵ آورده شده‌اند. به طور معمول نیروها را به زیر مقدار یک تا دو میلی‌ریدبرگ بر بوده کاهش می‌دهند و در این پژوهش به دلیل سنگین بودن محاسبه‌ها مقدار ۲ انتخاب شده است.

در این پژوهش برای محاسبه‌ی گاف انرژی در هر سه ترکیب  $\text{AgGaX}_2(\text{X}=\text{S}, \text{Se}, \text{Te})$  از تقریب‌های  $\text{GGA}$ ،  $\text{EV}$ ،  $\text{MBJ}$  (۱) و (۲) استفاده شده است. نمودارهای ساختار نواری، چگالی حالت‌های کل با تقریب‌های گوناگون محاسبه، اما برای نمونه، نمودار به دست آمده از تقریب  $\text{MBJ}$  در بازه انرژی ۴-۶ تا ۶ الکترون ولت در شکل ۱ و چگالی حالت‌های جزئی با استفاده از تقریب  $\text{MBJ}$  در بازه انرژی ۷-۹ تا ۶ الکترون ولت در شکل ۲ نشان داده شده‌اند. در اینجا سطح انرژی فرمی در مبدأ (معادل با انرژی صفر)

(۱) Engel-Vosko (EV)

باتوجه به نمودارهای انرژی بر حسب  $\text{RK}_{\max}$  مقدارهای بهینه‌ی آن با استفاده از تقریب‌های گوناگون محاسبه و در جدول ۲ آورده شده‌اند.

### نتیجه‌ها و بحث الف: ویژگی‌های ساختاری ترکیب‌های $\text{AgGaX}_2(\text{X}=\text{S}, \text{Se}, \text{Te})$ و $\text{CuSbX}_2(\text{X}=\text{S}, \text{Se}, \text{Te})$

بلورهای  $\text{AgGaX}_2(\text{X}=\text{S}, \text{Se}, \text{Te})$  دارای ساختار تراگونال باگروه فضایی  $\bar{1}\bar{4}2d$  می‌باشد و شبیه به دو ساختار بلند روی می‌باشند که در راستای محور  $z$  روی هم قرار گرفته‌اند و طول پیوندها در این ساختارها یکسان نیستند. همچنین ترکیب‌های  $\text{CuSbX}_2(\text{X}=\text{S}, \text{Se}, \text{Te})$  که دارای گروه فضایی pnma62 بوده، فازهای دیگری ندارند درنتیجه فاقد گذار فاز هستند. با رسم منحنی انرژی تبادلی - همبستگی، مقدار ثابت‌های شبکه، محاسبه شده‌اند. مقدارهای ثابت شبکه و مدول حجمی و مشتق آن برای هر سه ترکیب با تقریب‌های گوناگون همراه با نتیجه‌های دیگران در جدول ۳ آورده شده‌اند. طبق نتیجه‌های به دست آمده برای ترکیب‌های  $\text{AgGaX}_2$  ثابت شبکه با تقریب  $\text{GGA}$  برای هر سه ترکیب به مقدار تجربی نزدیکتر است و مقدار مدول حجمی با استفاده از تقریب WC اختلاف کمتری با نتیجه‌های تجربی دارد. در مورد ترکیب‌های  $\text{CuSbX}_2(\text{X}=\text{Se}, \text{S}, \text{Te})$  نیز نتیجه‌های به دست آمده برای ثابت‌های شبکه و دیگر پارامترهای ساختاری با داده‌های موجود مقایسه و در جدول ۴ آورده شده‌اند. با توجه به نتیجه‌های به دست آمده از پارامترهای ساختاری ترکیب  $\text{GGA}$  دیده می‌شود مانند ترکیب  $\text{AgGaX}_2$  در  $\text{CuSbSe}_2$

(۲) Modified Becke-Johnson exchange potential (MBJ)

جدول ۳- ثابت شبکه، مدول حجمی و مشتق آن برای ترکیب‌های  $\text{AgGaX}_2$  (X=S, Se, Te) و مقایسه با نتیجه‌های دیگران.

ترکیب $\text{AgGaS}_2$					
تقریب	LDA	GGA	WC	کار دیگران	کارت‌تجربی
$a=b(\text{\AA})$	۵,۶۴۰	۵,۶۷۸	۵,۶۶۳	۵,۷۷[۱۸], ۵,۵۸۷[۱۷]	۵,۷۵۵[۱۶]
درصد خطأ نسبت به مقدار تجربی	۱,۹۹	۱,۳۴	۱,۶	۲,۹۲, ۰,۲۶	---
$C(\text{\AA})$	۱۰,۷۳۴	۱۰,۵۸۷	۱۰,۶۴۷	۱۰,۵۸[۱۸], ۱۰,۴۰[۱۶]	۱۰,۲۸۷[۱۶]
درصد خطأ نسبت به مقدار تجربی	۴,۴۳	۳,۰	۳,۳۶	۱,۱۱, ۲,۸۳	---
$B(\text{GPa})$	۹۸,۶۵	۱۰۰,۰۴	۱۰۰	۶۰,۸[۱۹], ۸۱,۲۳[۱۹]	۶۶,۸[۱۶] ۷۷,۶[۱۶]
درصد خطأ نسبت به مقدار تجربی	۳۷,۱۳	۲۸,۸۷	۲۸,۸۷	۴,۷, ۲۱,۶	---
$\hat{B}$	۵,۹۳	۴,۹۵	۵	۴,۷[۱۶], ۴,۷۴[۱۶]	۴[۱۶]
درصد خطأ نسبت به مقدار تجربی	۴۸,۲۵	۷۵,۲۳	۲۵	۴	---
تراکم پذیری <sup>-۱</sup>	۰,۱۷	۰,۲۰	۰,۲	----	----
ترکیب $\text{AgGaSe}_2$					
تقریب	LDA	GGA	WC	کار دیگران	کارت‌تجربی[۱۹]
$a=b(\text{\AA})$	۵,۸۷۸	۵,۹۱۵	۵,۸۹۵	۶,۰۵[۱۹], ۵,۸۴[۱۶]	۵,۹۹۲
درصد خطأ نسبت به مقدار تجربی	۲,۰۲	۱,۲۸	۱,۶۲	۲,۵۷, ۰,۹۷	---
$C(\text{\AA})$	۱۱,۳۱۳	۱۱,۱۷۲	۱۱,۳۴۶	۱۱,۲۱[۱۹], ۱۱,۰۲[۱۶]	۱۰,۸۸۶
درصد خطأ نسبت به مقدار تجربی	۳,۹	۲,۶۳	۴,۲۲	۱,۲۵, ۲,۹۸	---
$B(\text{GPa})$	۱۰۰,۰۲	۱۰۰	۱۰۰	۵۰,۷[۱۹], ۶,۶۲[۱۶]	۶۳,۸
درصد خطأ نسبت به مقدار تجربی	۳۵,۰۲	۳۵	۳۵	۱,۲۹, ۲۰,۰۵۳	---
$\hat{B}$	۵,۰۹	۵	۵	۵,۰۲[۱۹], ۴,۷[۱۶]	۴
درصد خطأ نسبت به مقدار تجربی	۲۷,۲۵	۲۵	۲۵	۱۷,۵, ۲۵,۵	---
تراکم پذیری <sup>-۱</sup>	۰,۱۹۶	۰,۲	۰,۲	----	----
ترکیب $\text{AgGaTe}_2$					
تقریب	LDA	GGA	WC	کار دیگران[۲۱]	کارت‌تجربی[۲۰]
$a=b(\text{\AA})$	۶,۱۳۸	۶,۲۷۲	۶,۲۵۴	۶,۲۸۸	۶,۲۸۰
درصد خطأ نسبت به مقدار تجربی	۰,۲۳	۰,۱۳	۰,۵۴	۰,۱۳	---
$C(\text{\AA})$	۱۱,۶۶۹	۱۱,۹۲۵	۱۲,۰۳۷	۱۱,۹۴۹	۱۱,۹۴۰
درصد خطأ نسبت به مقدار تجربی	۰,۲۳	۰,۰۹۶	۰,۷۶	۰,۰۷۵	---
$B(\text{GPa})$	۹۹,۳۹	۹۹,۹۹	۹۹,۹۹	----	۷۶,۶
درصد خطأ نسبت به مقدار تجربی	۲۲,۷۹	۲۳,۳۹	۲۳,۳۹	----	----
$\hat{B}$	۱,۹۱	۵,۸۳	۵	----	----
تراکم پذیری <sup>-۱</sup>	۰,۵۲	۰,۱۷	۰,۲	----	----

جدول ۴- ثابت شبکه، مدول حجمی و مشتق آن برای ترکیب‌های  $CuSbX_2$  ( $X = S, Se, Te$ ) و مقایسه با نتیجه‌های دیگران.

ترکیب $CuSbSe_2$						
تقریب	a (Å)	b (Å)	c (Å)	$B_0$ (GPa)	B'	K (GPa) <sup>-1</sup>
GGA(PBE)	۶,۴۴	۳,۹۵۴	۱۵,۴۲	۵۹,۷۱	۵	۰,۰ ۱۷۶
درصد خطأ نسبت به مقدار تجربی	۰,۰۰۶۲	۰,۰۰۱	۰,۰۰۵	-	-	-
GGA+U	۶,۴۳	۳,۹۶	۱۵,۳۹	۵۷,۶۰	۵	۰,۰ ۱۷۳
درصد خطأ نسبت به مقدار تجربی	۰,۰۰۴۶	۰,۰۰۲	۰,۰۰۳	-	-	-
GGAmBJ	۶,۴۴	۳,۹۸	۱۵,۴۲	۵۹,۷۱	۵	۰,۰ ۱۶۷
درصد خطأ نسبت به مقدار تجربی	۰,۰۰۶۲	۰,۰۰۷	۰,۰۶	-	-	-
GGAmBJ+U	۶,۴۳	۳,۹۶	۱۵,۳۹	۵۷,۶۰	۵	۰,۰ ۱۷۳
درصد خطأ نسبت به مقدار تجربی	۰,۰۰۴۶	۰,۰۰۲	۰,۰۰۳	-	-	-
LSDA	۶,۲۸	۳,۹۳	۱۴,۷۵	۷۵,۴۱	۵	۰,۰ ۱۳۲
درصد خطأ نسبت به مقدار تجربی	۱,۸۷	۰,۰۰۵	۲/۷۷	-	-	-
PBEsol	۶,۲۹	۳,۹۹	۱۴,۹۲	۷۰,۲۳	۴,۶۵	۰,۰ ۱۴
درصد خطأ نسبت به مقدار تجربی	۱,۷۱	۰,۰۱	۰,۰۲۱	-	-	-
GGA(WC)	۶,۲۳	۳,۹۶	۱۴,۹۱	۷۰,۰۹	۴,۱۴	۰,۰ ۱۴۳
درصد خطأ نسبت به مقدار تجربی	۰,۰۲	۰,۰۰۲	۰,۰۲	-	-	-
Hybrid	۶,۳۵	۳,۹۷	۱۵,۲۲	۵۹,۶۵	۳,۳۱	۰,۰ ۱۶۷
درصد خطأ نسبت به مقدار تجربی	۰,۰۷۸	۰,۰۰۵	۰,۰۰۷	-	-	-
EECE	۶,۳۳	۳,۹۰	۱۵,۲۱	۷۶,۷۲	۵,۶۹	۰,۰۰۹۳
درصد خطأ نسبت به مقدار تجربی	۱,۰۹	۱,۰۲	۰,۱۷	-	-	-
[۱۲] کار تجربی	۶,۴۰	۳,۹۵	۱۵,۳۳	-	-	-
ترکیب $CuSbS_2$						
تقریب	a (Å)	b (Å)	c (Å)	$B_0$ (GPa)	B'	K (GPa) <sup>-1</sup>
GGA(PBE)	۵,۹۷	۳,۷۵	۱۴,۵۳	۸۷,۸	۵,۰۰	۰,۰ ۱۱۳
درصد خطأ نسبت به مقدار تجربی	۰,۰۰۶	۰,۰۱۰	۰,۰۰۲	-	-	-
GGA+U	۶,۰۴	۳,۷۳	۱۴,۴۳	۸۹,۷	۵,۱۲	۰,۰ ۱۱۲
درصد خطأ نسبت به مقدار تجربی	۰,۰۰۴	۰,۰۱۵	۰,۰۰۴	-	-	-
GGAmBJ	۶,۰۶	۳,۷۴	۱۴,۵۲	۸۹,۸	۵,۱۴	۰,۰ ۱۱۱
درصد خطأ نسبت به مقدار تجربی	۰,۰۰۸	۰,۰۱۳	۰,۰۰۲	-	-	-
LSDA	۵,۹۳	۳,۷۷	۱۴,۴۵	۹۲,۹۳	۵,۰۰	۰,۰ ۱۰۷
درصد خطأ نسبت به مقدار تجربی	۰,۰۱۳	۰,۰۰۵	۰,۰۰۲	-	-	-
مقدار تجربی [۱۲]	۶,۰۱	۳,۷۹	۱۴,۴۹	-	-	-

جدول ۴ - ثابت شبکه، مدول حجمی و مشتق آن برای ترکیب‌های  $CuSbX_2$  ( $X = S, Se, Te$ ) و مقایسه با نتیجه‌های دیگران. (ادامه)

ترکیب $CuSbTe_2$						
تقریب	a (Å)	b (Å)	c (Å)	$B_0$ (GPa)	$B'$	K (GPa) <sup>-1</sup>
GGA(PBE)	۹,۲۴	۳,۶۵	۲۰,۲۴	۷۴,۱۱	۵,۰۰	۰,۰۱۳۴
درصد خطأ نسبت به مقدار تجربی	۰,۰۲۵	۰,۰۲۱	۰,۰۰۳	–	–	–
GGA+U	۹,۴۵	۳,۷۴	۲۰,۱۹	۷۷,۱۵	۵,۱۲	۰,۰۱۲۹
درصد خطأ نسبت به مقدار تجربی	۰,۰۰۳	۰,۰۰۲	۰,۰۰۱	–	–	–
GGAmBJ	۹,۳۶	۳,۷۷	۲۰,۲۷	۷۷,۲۳	۵,۴۳	۰,۰۱۲۹
درصد خطأ نسبت به مقدار تجربی	۰,۰۱۲	۰,۰۱۰	۰,۰۰۵	–	–	–
LSDA	۹,۱۸	۳,۶۶	۲۰,۲۰	۸۱,۴۲	۵,۳۱	۰,۰۱۲۲
درصد خطأ نسبت به مقدار تجربی	۰,۰۳۱۶	۰,۰۱۸	۰,۰۰۱	–	–	–
مقدار تجربی [۱۲]	۹,۴۸	۳,۷۳	۲۰,۱۷	–	–	–

جدول ۵ - طول پیوندها قبل و بعد از واهلش برای ترکیب‌های  $AgGaX_2$  ( $X=S, Se, Te$ )

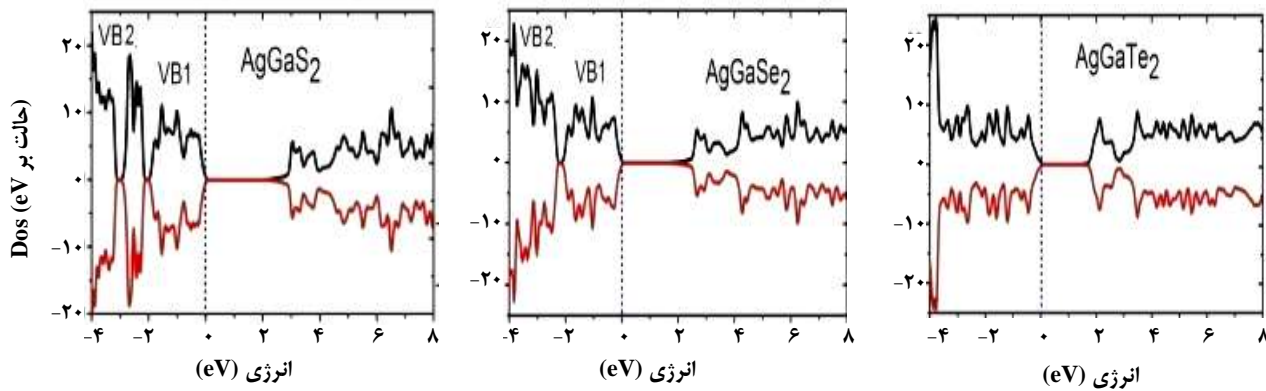
	AgGaSe <sub>2</sub>	
	Ag-Se	Ga-Se
قبل از واهلش	۴,۹۱۹	۴,۵۹۵
بعد از واهلش	۴,۸۵۵	۴,۶۶۴
	AgGaS <sub>2</sub>	
	Ag-S	Ga-S
قبل از واهلش	۴,۶۹	۴,۴۲
بعد از واهلش	۴,۶۸	۴,۴۱۶
	AgGaTe <sub>2</sub>	
	Ag-Te	Ga-Te
قبل از واهلش	۵,۱۴	۴,۹۸
بعد از واهلش	۵,۱۴	۴,۹۷

Te در جدول ۶ آورده شده‌اند. همان گونه که دیده می‌شود، هر سه ترکیب، گاف مستقیم در نقطه  $\Gamma$  دارند و میزان گاف بهدست آمده با استفاده از تقریب MBJ به میزان گاف تجربی نزدیک‌تر است. نمودار چگالی حالت‌های کل با تقریب‌های گوناگون محاسبه و برای نمونه نمودار چگالی حالت‌های کل با تقریب MBJ در شکل ۱ نشان داده شده‌اند. با مقایسه نمودار چگالی حالت‌های کل، می‌توان بیان کرد که روش MBJ

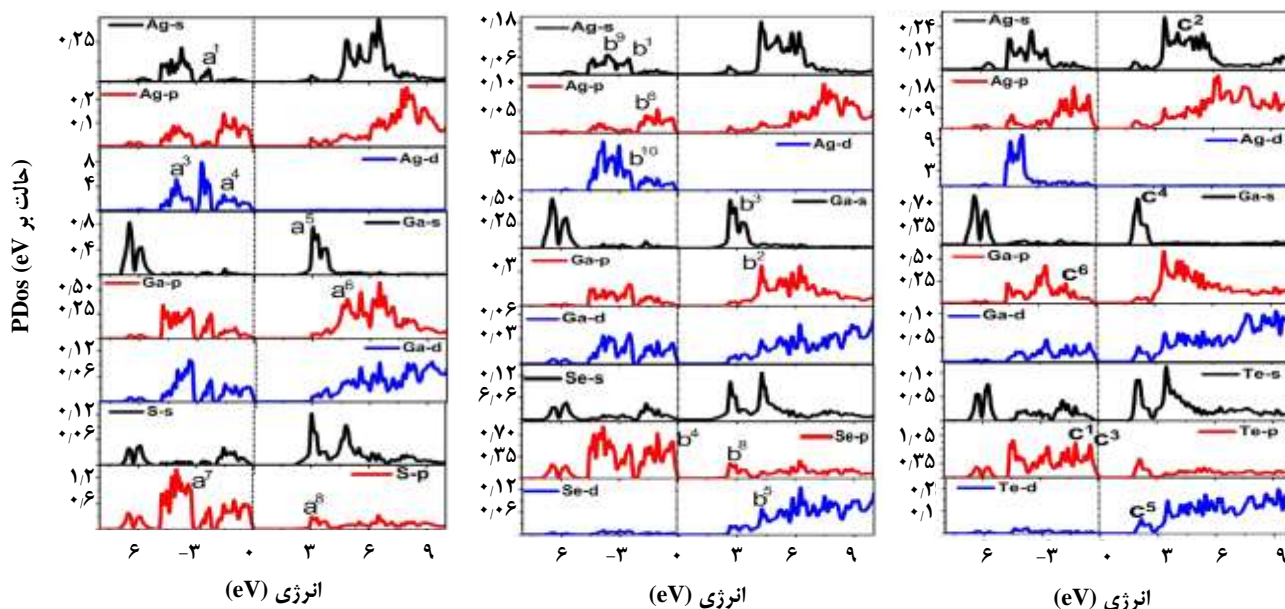
انتخاب شده است. شایان ذکر است که در محاسبه گاف نواری توسط پتانسیل MBJ با روش GW که دقیق‌اما از نظر حجم محاسباتی بسیار سنگین است، قابل مقایسه می‌باشد.

### چگالی حالت‌ها

مقدارهای گاف بهدست آمده، مقدارهای تجربی و نتیجه‌های  $AgGaX_2$  ( $X=S, Se$ , Te) برای هر سه ترکیب بهدست آمده توسط دیگران برای



شکل ۱- نمودار چگالی حالت‌های کل با استفاده از تقریب MBJ.

شکل ۲- نمودار چگالی حالت‌های جزئی ترکیب‌های (الف)  $\text{AgGaS}_2$ ، (ب)  $\text{AgGaSe}_2$  و (ج)  $\text{AgGaTe}_2$  با تقریب MBJ.

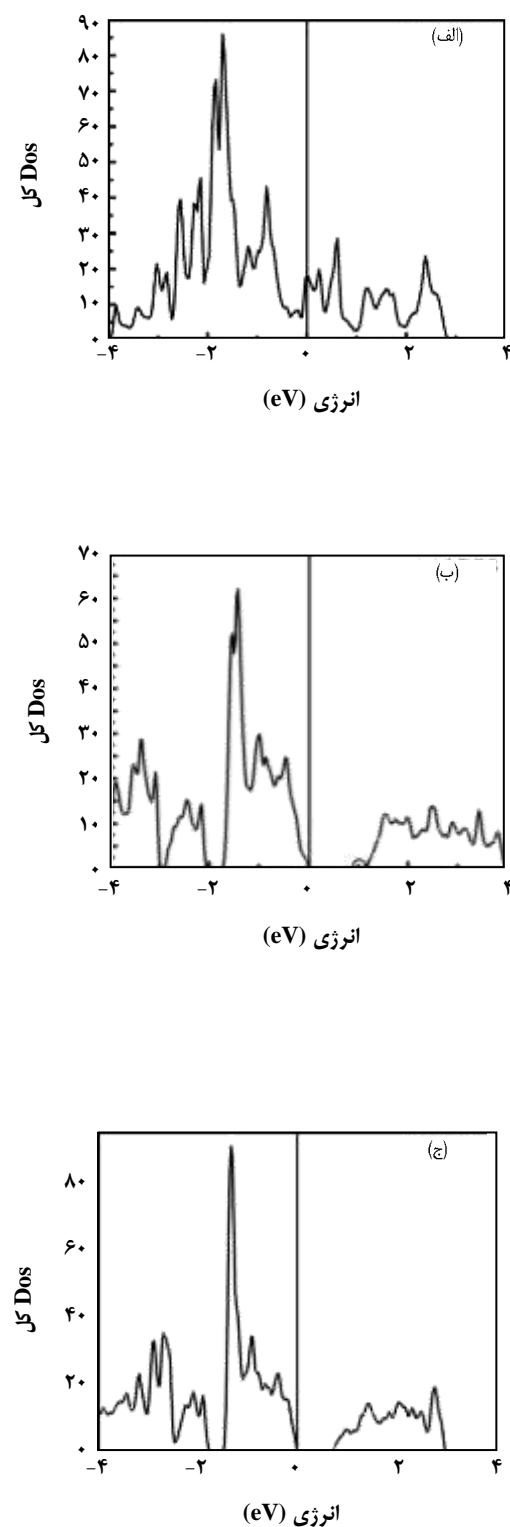
مریبوط به ترکیب‌های  $\text{AgGaX}_2$  ( $X=\text{S}, \text{Se}, \text{Te}$ ) نشان می‌دهد که، اربیتال‌های  $4\text{d}$ ،  $5\text{s}$  و  $5\text{p}$  اتم نقره با اربیتال  $3\text{p}$  گالیوم و گوگرد (سلینیوم و تلوریوم)، اربیتال‌های  $5\text{s}$  و  $5\text{p}$  اتم نقره با  $4\text{s}$  گالیوم و  $3\text{s}$  گوگرد (سلینیوم و تلوریوم)، و همچنین اربیتال‌های  $4\text{s}$ ،  $4\text{p}$  و  $3\text{d}$  اتم گالیوم با اربیتال  $3\text{s}$  اتم گوگرد (سلینیوم و تلوریوم) همپوشانی دارند. از سویی اربیتال‌های اتم گالیوم مشارکت کمتری نسبت به سه اتم دیگر ترکیب‌ها در نوارهای رسانش و ظرفیت دارد [۲۱]. با توجه به نمودار چگالی حالت‌های جزئی در هر سه ترکیب، اربیتال  $\text{d}$  اتم نقره بیشترین سهم در حالت‌های الکترونی دارد. در ترکیب

باعث می‌شود که حالت‌های اشغال نشده به سمت انرژی‌های بالاتر و دورتر از سطح فرمی، نسبت به حالت‌های نوار رسانش با تقریب‌های GGA، LDA و EV نیز صادق می‌باشد. نمای کلی چگالی حالت‌های کل در تمام ترکیب‌ها به نسبت همانند است زیرا آئیون‌ها ( $X=\text{S}, \text{Se}, \text{Te}$ ) در یک گروه از جدول تناوبی قرار گرفته‌اند. همچنین برای بررسی چگونگی مشارکت اربیتال‌های گوناگون، چگالی حالت‌های جزئی هر سه ترکیب با تقریب MBJ محاسبه و در شکل‌های ۲ نشان داده شده‌اند. چگالی حالت‌های جزئی اربیتال‌های تشکیل دهنده عنصرها

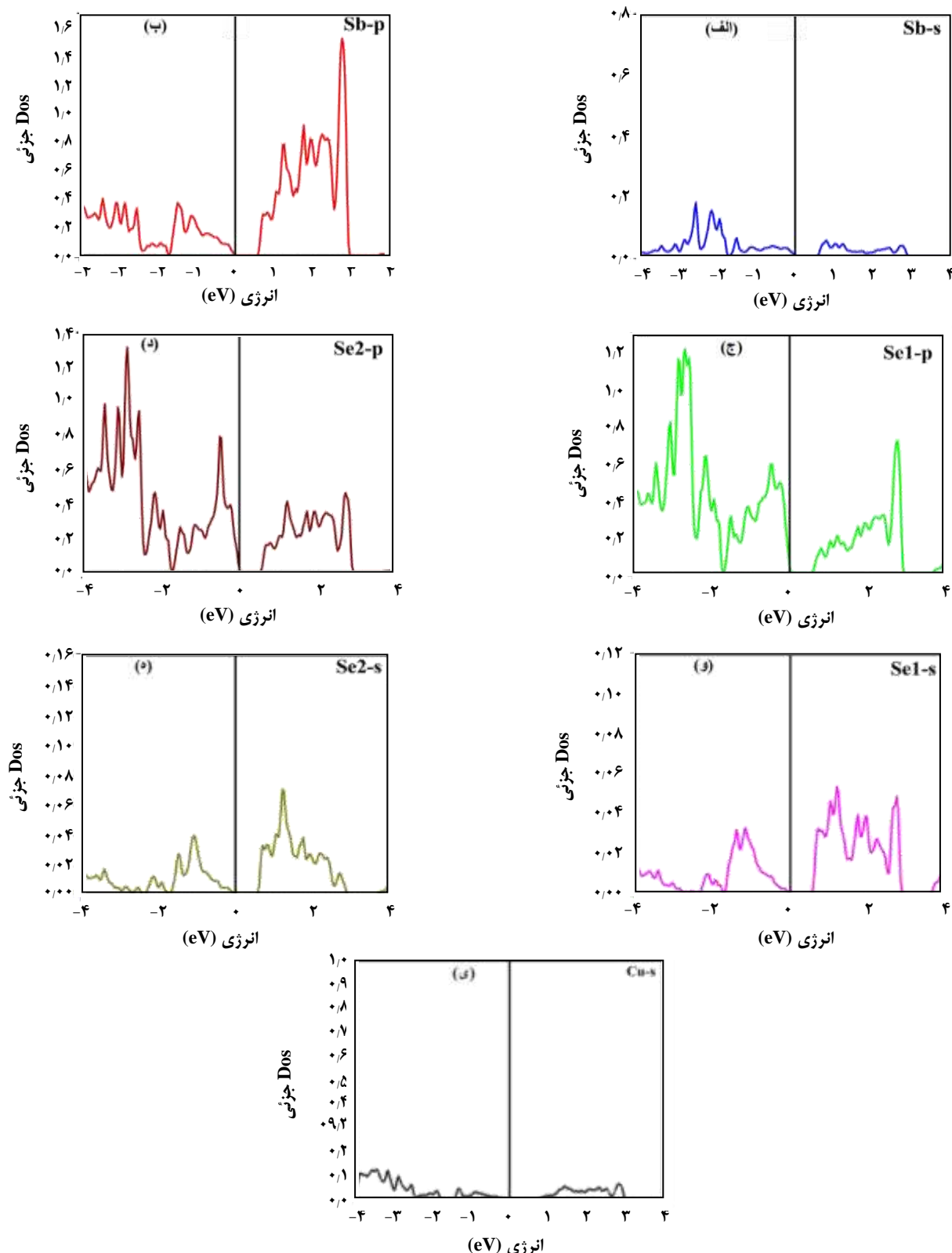
AgGaS<sub>2</sub> سهم عمده مشارکت در نوار ظرفیت ناشی از اربیتال‌های p اتم گوگرد، d اتم نقره و p اتم گالیوم و درمورد نوار رسانش، ناشی از اربیتال‌های p اتم گوگرد، s اتم نقره و d اتم گالیوم است. در ترکیب‌های AgGaSe<sub>2</sub> و AgGaTe<sub>2</sub> سهم عمده مشارکت در نوار ظرفیت ناشی از اربیتال‌های p اتم سلنیوم(تلوریوم)، d اتم نقره و p اتم گالیوم و درنوار رسانش، ناشی از اربیتال‌های p اتم سلنیوم(تلوریوم)، s اتم نقره و d اتم گالیوم است. با توجه نمودار چگالی حالت‌های جزئی ترکیب AgGaS<sub>2</sub>، اربیتال s اتم نقره در انتهای نوار ظرفیت و ابتدای نوار رسانش دارای قله می‌باشد. هم‌چنین اربیتال d اتم نقره در ابتدای نوار ظرفیت دارای چند قله می‌باشد و در نوار رسانش قله ندارد. در مورد ترکیب AgGaSe<sub>2</sub> نیز اربیتال s اتم گالیوم در انتهای نوار ظرفیت و ابتدای نوار رسانش دارای قله است.

در مورد ترکیب‌های CuSbX<sub>2</sub>(X=Se,S,Te) نیز پس از واهلش ساختارها کاهش نیروها تا ۲ mRy/bohr با استفاده از تقریب GGA+U نمودار چگالی حالت‌های کلی و جزئی در بازه انرژی از -۴ تا ۴ eV کترون‌ولت در شکل‌های ۳ تا ۴ نشان داده شده است.

در منحنی چگالی حالت‌های کل ترکیب CuSbSe<sub>2</sub> قله‌هایی دیده می‌شود که بیشینه قله آن در انرژی ۱،۳۴ eV- کترون‌ولت قرار دارد و مقدار آن (State/eV) ۹۰،۴۸ است. از چگالی حالت‌های جزئی این ترکیب، چنین بر می‌آید که مشارکت اربیتال p اتم آنتیموان در بالای نوار رسانش و در انرژی ۲،۸۷ eV مقدار آن (State/eV) ۱،۵۳ است. مشارکت عمده اربیتال s آن در میانه نوار ظرفیت و دارای قله‌ای بیشینه در بازه انرژی از -۳ تا -۲ eV-کترون‌ولت است که مقدار آن (State/eV) ۰،۱۷ است. برای اربیتال p اتم سلنیوم مشارکت عمده در پایین نوار ظرفیت قرار دارد، اگر چه مشارکت چشمگیری هم در نوار رسانش دارد و دارای قله‌هایی می‌باشد که بیشینه قله آن در انرژی ۰،۸۷ eV- مقدار آن (State/eV) ۱،۳۱ است. مشارکت عمده اربیتال s آن در میانه نوار رسانش قرار دارد دارای قله‌هایی است که بیشینه قله آن در نوار رسانش در انرژی ۱،۲۵ eV- مقدار آن (State/eV) ۰،۰۶ است و بیشینه قله آن در بالای نوار ظرفیت در انرژی ۰،۰۳ eV- کترون‌ولت دارای مقدار (State/eV) ۰،۰۰ است. مشارکت غالب اربیتال s اتم مس در ته پایین نوار ظرفیت است. با توجه به مشارکت قله‌ها می‌توان دریافت که قله نوار رسانش، در محلوده انرژی ۳ eV ناشی از همپوشانی اربیتال‌های s و p اتم Se است.



شکل ۳- نمودار چگالی حالت‌های کل ترکیب‌های (الف) CuSbSe<sub>2</sub>، (ب) CuSbTe<sub>2</sub> و (ج) CuSbS<sub>2</sub> با استفاده از تقریب GGA+U



شکل ۴- نمودار چگالی حالت‌های جزئی اتم‌های تشکیل دهنده ترکیب  $\text{CuSbSe}_2$  (الف)، (ب)، (ج)، (د)، (ه)، (و)، (ز) و (س) با استفاده از تقریب GGA+U

ترکیب به دست نیامد، یعنی ترکیب  $\text{CuSbTe}_2$  فاقد گاف نواری است. شایان ذکر است که هیچ داده نظری و تجربی برای مقایسه ویژگی‌های گوناگون این ترکیب در دسترس نیست. همچنین در منحنی چگالی حالت‌های کل ترکیب  $\text{CuSbTe}_2$ ، قله بیشینه‌ای که در بازه‌ی ۲-۳ تا صفر الکترون‌ولت دیده می‌شود، ناشی از همپوشانی اربیتال‌های p اتم‌های تلوریوم و آنتیموان است. قله‌ای که در بازه‌ی انرژی از صفر تا ۲ الکترون‌ولت در نوار رسانش وجود دارد ناشی از همپوشانی اربیتال‌های p اتم Te و اربیتال s اتم Sb است.

### ساختار نواری

ساختار نواری محاسبه شده برای ترکیب‌های  $\text{AgGaX}_2$  ( $X=\text{S}, \text{Se}, \text{Te}$ ) با تقریب‌های گوناگون محاسبه و برای نمونه با تقریب MBJ در بازه‌ی انرژی ۶-۰ الکترون‌ولت در شکل ۵ نشان داده شده است. از این شکل مشخص است که در نقطه  $\Gamma$  هر سه ترکیب دارای گاف نواری مستقیم می‌باشد و برای ترکیب‌های الکترون‌ولت می‌باشد و مقدار گاف به دست آمده با این تقریب به مقدار تجربی نزدیک‌تر است و خطای کمتری دارد. در این شکل تبهگنی‌های گوناگونی در نوار ظرفیت دیده می‌شود و با افزایش شعاع آنیون در ترکیب  $\text{AgGaX}_2$  ( $X=\text{S}, \text{Se}, \text{Te}$ ) گاف نواری کاهش می‌یابد، این روند برای تقریب‌های دیگر نیز به همین صورت است. همان گونه که مشخص است، برای هر سه ترکیب در نقطه  $\Gamma$  در نزدیکی بیشینه نوار ظرفیت، جفت شدگی  $\Delta_{\text{CF}}$  میدان بلوری (CF) وجود دارد و شکافتگی بین آنها که با نشان داده می‌شود که در جدول ۶ همراه با دیگر داده‌های موجود و درصد خطای نسبت به مقدار تجربی آورده شده‌اند. این رفتار ناشی از جابه‌جایی آنیون، اعوجاج ساختار تراگونال و حضور دو نوع گوناگون از آنیون‌ها (نقره و کالیوم) می‌باشد که در توافق با نتیجه‌های پژوهش دیگران است [۱۷]. ساختار نواری ترکیب  $\text{CuSbSe}_2$  در راستای خطاهای تقارنی با تقریب‌های GGA+U، GGA و GGA+BJ+U در بازه‌ی ۰-۵ تا ۲ الکترون‌ولت در شکل ۶ رسم شده است.

همان گونه که از شکل ۶ دیده می‌شود ترکیب  $\text{CuSbTe}_2$  دارای گاف نواری مستقیم در راستای  $\Gamma$  است که با استفاده از تقریب‌های اعمال شده مقدار آن به ترتیب  $0.07$ ،  $0.081$  و  $0.087$  الکترون‌ولت می‌باشد. در این ترکیبات تراز d اتم Cu پر است

و قله نوار ظرفیت در بازه‌ی انرژی ۳-۰ الکترون‌ولت ناشی همپوشانی اربیتال‌های s و p اتم Se با اربیتال p اتم Sb می‌باشد. در نوار رسانش با زیاد شدن انرژی، مشارکت اربیتال 4p اتم Se و ۳d ۵p اتم Sb شروع به افزایش می‌کند و از طرفی سهم اربیتال ۳d اتم Cu در لبه نوار رسانش صفر است که این امر انعکاسی از پیوند کووالانسی پیوندهای Cu-Sb و Cu-Se می‌باشد. در نزدیک منطقه گاف نواری اربیتال‌های p اتم‌های Se1 و Se2 بالاترین تراز در نوار ظرفیت و اربیتال p اتم‌های Se1 و Se2 به ترتیب پایین‌ترین تراز ترازهای نوار رسانش هستند و اولین گذار الکترون‌های برانگیخته با احتمال زیاد میان اربیتال‌های اتم‌های یاد شده رخ می‌دهد. قله‌ای که در ناحیه ۱-۰.۵ الکترون‌ولت تا صفر زیر تراز فرمی دیده می‌شود از همپوشانی اربیتال‌های s و p اتم Se وجود آمده‌اند. سهم اربیتال s اتم آنتیموان و اربیتال s اتم مس در نزدیکی سطح فرمی کم است. با توجه به شکل (۳-ب) بیشینه قله منحنی چگالی حالت‌های کل این ترکیب در نوار ظرفیت و در انرژی ۰-۱.۹ الکترون‌ولت قرار دارد که مقدار آن (State/eV)  $67.58$  است. مشارکت عمدۀ اربیتال‌ها در نوار رسانش مربوط به اربیتال p اتم آنتیموان است. سهم اربیتال s اتم آنتیموان در نوار رسانش کم است. مشارکت عمدۀ اربیتال‌ها در نوار ظرفیت مربوط به اربیتال p اتم گوگرد است. اولین گذارهای الکترونی به اختصار قوی میان حالت‌های d-S<sub>1</sub>-p و Cu-d و S<sub>2</sub>-p رخ می‌دهد. قله تیزی که در ناحیه ۱-۰.۸ تا صفر زیر تراز فرمی دیده می‌شود ناشی از همپوشانی اربیتال‌های s اتم گوگرد با اربیتال p اتم آنتیموان است. قله‌ای که در ۰-۲ تا ۰.۴ الکترون‌ولت در نوار رسانش وجود دارد از همپوشانی اربیتال p اتم آنتیموان و d اتم مس است.

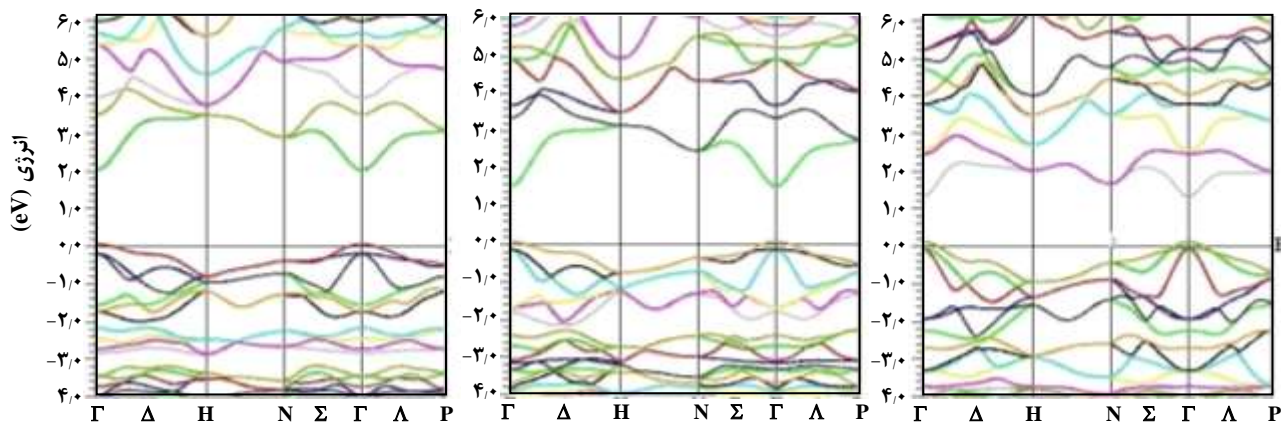
با استفاده از منحنی چگالی حالت‌های کل ترکیب  $\text{CuSbTe}_2$  در شکل (۳-ج) می‌توان بیان کرد که بیشینه قله نوار ظرفیت در انرژی ۰-۱.۶۵ الکترون‌ولت قرار دارد و مقدار آن (State/eV)  $85.28$  است همچنین بیشینه قله نوار رسانش در انرژی ۰-۰.۸۵ الکترون‌ولت و مقدار آن (State/eV)  $28.54$  می‌باشد. مشارکت عمدۀ اربیتال‌ها در نوار رسانش مربوط به اربیتال‌های p اتم آنتیموان و تلوریوم در نیمه این نوار است. سهم اربیتال s اتم آنتیموان در نوار رسانش کم است. مشارکت عمدۀ اربیتال‌های s اتم مس در بالای نوار رسانش است. نمودار چگالی حالت‌های ترکیب  $\text{CuSbTe}_2$  سطح فرمی را قطع می‌کند که نشان دهنده خاصیت فلزی این ماده است. با اعمال تقریب GGA+BJ+U مشخص نمودن گاف نواری، نتیجه‌ای مبنی بر نیمرسانا بودن

جدول ۶ - گاف نواری محاسبه شده برای ترکیب‌های  $\text{AgGaX}_2$  ( $X=\text{S}, \text{Se}, \text{Te}$ ) با استفاده از تقریب‌های گوناگون همراه با دیگردادهای موجود.

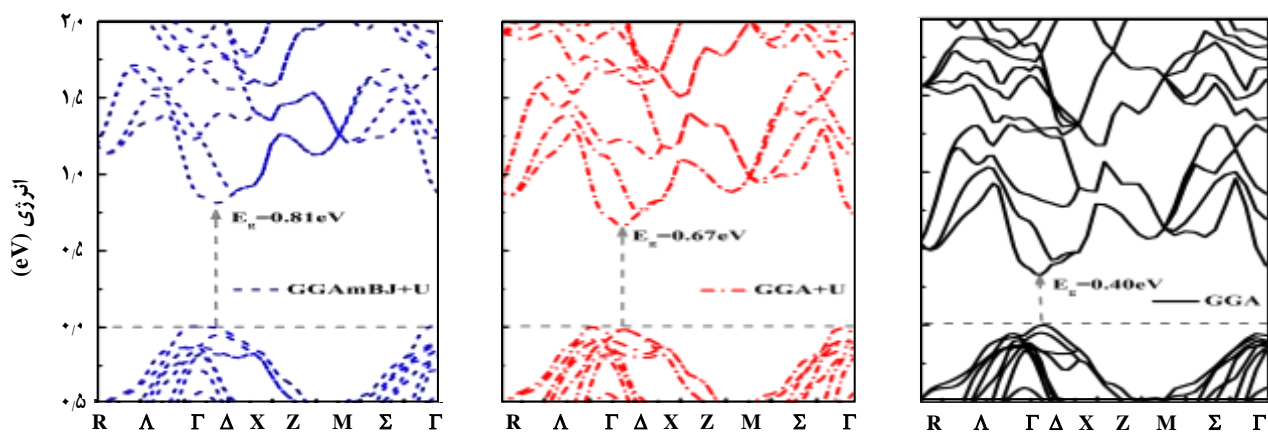
گاف نواری (eV)		درصد خطا نسبت به مقدار تجربی	$\Delta_{\text{CF}}$	درصد خطا نسبت به مقدار تجربی
$\text{AgGaS}_2$	EV	۱,۰۷۴	۳۷/۲۹	۳/۵۷
	GGA	۱,۰۳۵	۵۸/۷۶	
	LDA	۰,۸۵۷	۶۵/۸۶	
	MBJ	۲,۱۳۱	۱۵/۱	----
	کار تجربی [۲۱]	۲/۵۱	-----	
	کار نظری دیگران	۲/۲۳[۲۱], ۰,۹۵[۱۷]	۶۲/۱۵[۲۲]	
$\text{AgGaSe}_2$	EV	۱,۱۷۹	۳۵/۲۲	۴/۰
	GGA	۰,۷۳۱	۵۹/۸۴	
	LDA	۰,۶۹	۶۳/۰۳	
	MBJ	۱,۶۸	۷,۶۹	----
	کار تجربی [۲۱]	۱,۸۲	-----	
	کار نظری دیگران	۱,۴۲[۲۱], ۰,۱۹[۱۷]	۸۹/۶۵[۱۷]	۶,۸[۱۷]
$\text{AgGaTe}_2$	EV	۱,۰۹۹	۴/۰	----
	GGA	۰,۷۰۲	-----	
	LDA	۰,۶۳۱	-----	
	MBJ	۱,۴۶۵	-----	----
	کار تجربی [۲۱]	۱,۳۱۶	-----	
	کار نظری دیگران [۲۱]	۰,۷۵	۳,۲[۱۸], ۶,۸[۱۷]	----

که این ترکیب دارای گاف نواری غیر مستقیم در راستای  $\Gamma\text{-}X$  به اندازه  $0,93\text{ eV}$  می‌باشد، درنتیجه نیمرسانا بودن ترکیب تأیید می‌شود همچنین مقدارهای گاف نواری تجربی این ترکیب  $1/۳۸$  که از ترکیب  $\text{CuSbTe}_2$  با تقریب‌های  $\text{GGA+U}$  و  $\text{GGAmBJ+U}$  همخوانی مناسب‌تری با نتیجه‌های تجربی دارد [۲۳]. در جدول ۷ گاف نواری ترکیب  $\text{CuSbTe}_2$  با استفاده از تقریب‌های گوناگون نشان داده شده و با مقدار تجربی مقایسه شده است. بنابراین با توجه به نتیجه‌های بهدست آمده برای پارامترهای ساختاری و گاف نواری در می‌یابیم که تقریب‌های  $\text{GGA+U}$  و  $\text{GGAmBJ+U}$  تقریب بهتری برای توصیف ویژگی‌های ترکیب  $\text{CuSbTe}_2$  هستند. همچنین ساختار نواری  $\text{CuSbS}_2$  بیانگر این است

درنتیجه در نظر گرفتن قطبش اسپینی تأثیری در ساختار نواری ندارد. از این نمودار مشاهده می‌شود که گاف نواری بهدست آمده برای ترکیب  $\text{CuSbTe}_2$  با تقریب‌های  $\text{CuSbTe}_2$  با تقریب‌های  $\text{GGA+U}$  و  $\text{GGAmBJ+U}$  همخوانی مناسب‌تری با نتیجه‌های تجربی دارد [۲۳]. در جدول ۷ گاف نواری ترکیب  $\text{CuSbTe}_2$  با استفاده از تقریب‌های گوناگون نشان داده شده و با مقدار تجربی مقایسه شده است. بنابراین با توجه به نتیجه‌های بهدست آمده برای پارامترهای ساختاری و گاف نواری در می‌یابیم که تقریب‌های  $\text{GGA+U}$  و  $\text{GGAmBJ+U}$  تقریب بهتری برای توصیف ویژگی‌های ترکیب  $\text{CuSbTe}_2$  هستند. همچنین ساختار نواری  $\text{CuSbS}_2$  بیانگر این است



شکل ۵ – ساختار نواری با استفاده از تقریب MBJ

شکل ۶ – ساختار نواری ترکیب  $\text{CuSbSe}_2$  با استفاده از تقریب‌های GGA+U، GGAmBJ+U و GGA

نشان داده شده است. همان گونه که مشخص است، قطبش ابر الکترونی بین اتمهای نقره و سولفور (سلنیوم و تلوریوم) و همچنین بین اتمهای گالیوم و سولفور (سلنیوم و تلوریوم) بسیار قوی می‌باشد که باعث شده توزیع ابر الکترونی در اطراف این اتمها از حالت کروی خارج و توزیع چگالی ابر الکترونی به سمت اتمهای نقره و گوگرد (سلنیوم و تلوریوم) و همچنین به سمت اتمهای گالیوم و گوگرد (سلنیوم و تلوریوم) قطبیده شود. این ناحیه‌ها وجود پیوند بین اتمهای نقره و سولفور (سلنیوم و تلوریوم) و همچنین بین اتمهای گالیوم و سولفور (سلنیوم و تلوریوم) را نشان می‌دهند. با توجه به توزیع یکنواخت بار بین اتمهای گالیوم و گوگرد (سلنیوم و تلوریوم) که مکان پیوند را نشان می‌دهد و این که ابر الکترونی به سمت اتم خاصی کشیده نشده است، نوع پیوند

با استفاده از تقریب‌های گوناگون بر حسب الکترون ولت در جدول ۷ آورده شده است. همچنین ساختار نواری ترکیب  $\text{CuSbTe}_2$  بیانگر خاصیت فلزی آن است. همچنین در حالت کلی گاف نواری این ترکیب‌ها از گاف نواری ترکیب‌های  $\text{AgGaX}_2$  ( $X=\text{S}, \text{Se}, \text{Te}$ ) کمتر است و با افزایش شعاع آنیون در ترکیب‌های  $\text{AgGaX}_2$  ( $X=\text{S}, \text{Se}, \text{Te}$ ) نیز مانند ترکیب‌های  $\text{CuSbX}_2$  ( $X=\text{S}, \text{Se}, \text{Te}$ ) گاف نواری کاهش یافته است و روند تغییرهای ترکیب‌های سه تایی با افزایش شعاع اتمی عنصر X مشاب است.

### چگالی ابر الکترونی

در شکل‌های ۷-الف تا ۷-ج) چگالی ابر الکترونی در دو بعد برای هر سه ترکیب با استفاده از پتانسیل MBJ در صفحه (۱۱۲)

جدول ۷- گاف نواری ترکیب‌های  $\text{CuSX}_2$  (X=S,Se) محاسبه شده با استفاده از تقریب‌های گوناگون همراه با دیگر داده‌های موجود.

CuSbSe <sub>2</sub>		
تقریب	گاف نواری بر حسب الکترون‌ولت	درصد خطا نسبت به مقدار تجربی
GGA(PBE)	۰,۶۰	۵۰
GGA+U	۰,۸۰	۳۳
GGAmBJ	۰,۶۱	۴۹
GGAmBJ+U	۰,۸۱	۳۲
LSDA	۰,۵۳	۵۵
PBEsol	۰,۵۸	۵۱
GGA(WC)	۰,۶۸	۴۳
EECE	۰,۷۴	۳۸
Exp. [۲۳]	۱/۲	-
CuSbS <sub>2</sub>		
تقریب	گاف نواری بر حسب الکترون‌ولت	درصد خطا نسبت به مقدار تجربی
GGA(PBE)	۰,۶۷	۵۱
GGA+U	۰,۹۳	۳۲
GGAmBJ	۰,۹۸	۲۸
LSDA	۰,۵۳	۶۱
Exp. [۱۰]	۱/۳۸	

عنصرها Cu و Sb برابر ۱۵، و Sb برابر ۰,۲۰ و Cu-Sb میان عناصر و Se برابر ۰,۵۰ می‌باشد. در نتیجه پیوند حدود ۱۰ درصد، پیوند Cu-Se در حدود ۱۵ درصد، پیوند Sb-Se حدود ۳۰ درصد یونی به حساب می‌آید، بنابراین عمدۀ پیوندهای میان الکترون‌های ظرفیت این عنصرها به تقریب کووالانسی می‌باشند. الکترونگاتیوی عنصرهای تشکیل دهنده ترکیب‌های آورده شده است. اختلاف الکترونگاتیوی بین اتم‌های تلویریوم و آنتیموان در ترکیب CuSbTe<sub>2</sub> و بین اتم‌های گوگرد و آنتیموان در ترکیب CuSbS<sub>2</sub> خیلی کوچک است درنتیجه امکان تشکیل پیوند یونی ناچیز و عمدۀ پیوند میان آن‌ها کووالانسی می‌باشد.

### نتیجه گیری

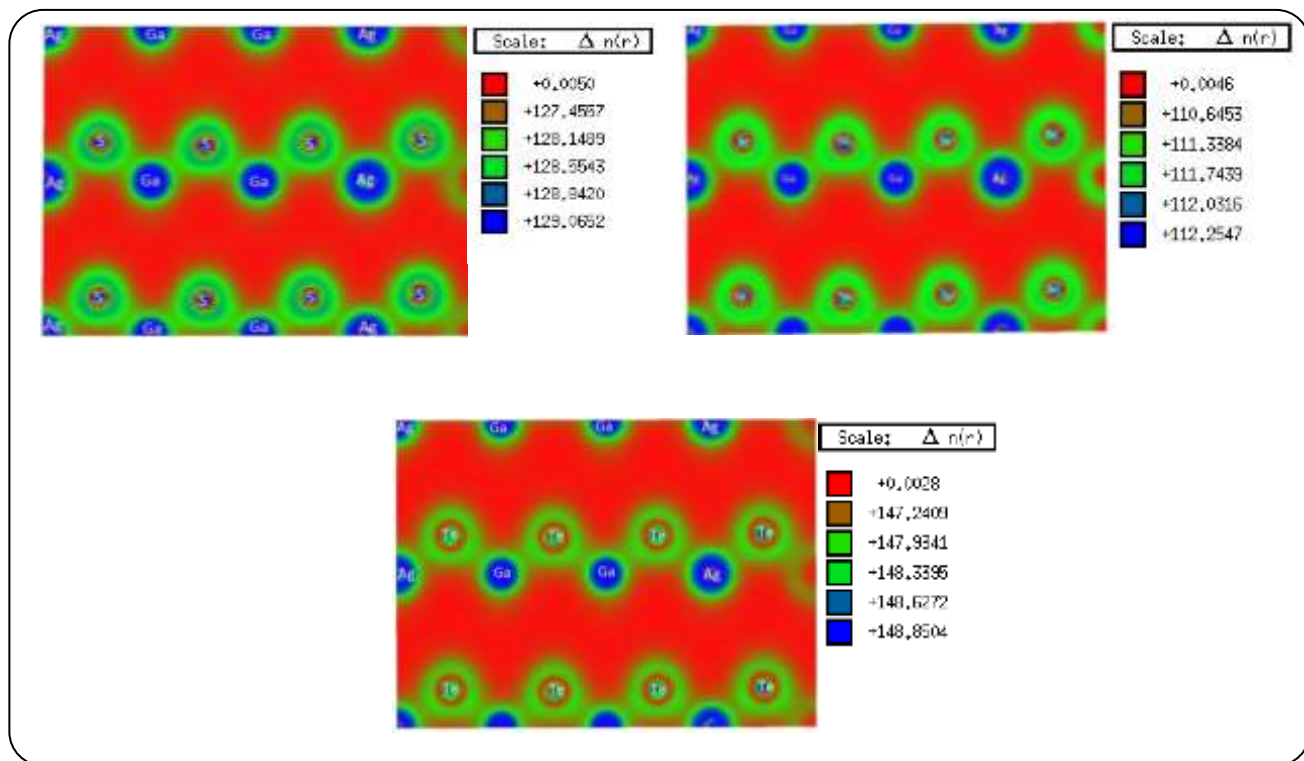
در این مطالعه برخی از ویژگی‌های ساختاری و الکترونی

می‌تواند کووالانسی باشد. طبق مقیاس الکترونگاتیوی ارایه شده توسط پائولینگ [۲۴] که بیانگر رابطه میان خصلت یونی پیوندها و اختلاف الکترونگاتیوی عنصرها است، در می‌یابیم که پیوند کاتیون - آئیون در ترکیب‌های  $\text{AgGaX}_2$  دارای ویژگی‌های پیوند کووالانسی است.

همچنین چگالی ابر الکترونی ترکیب‌های  $\text{CuSbX}_2$  (X=S,Se,Te) در صفحه (۱۰۰) در حالت‌های دو بعدی و سه بعدی محاسبه و در شکل ۸ نشان داده شده است. چگالی بار اطراف اتم Cu کروی می‌باشد و منطقه‌ی میانی شامل الکترون‌های ۳d اتم Cu است، بهطوری که چگالی بار ظرفیتی بالا و اطراف اتم Cu جایگزینه شده‌اند، همچنین همپوشانی میان اتم‌های Cu و Sb به تقریب همانند اتم‌های Se و Sb در ترکیب CuSbSe<sub>2</sub> است. مقیاس الکترونگاتیوی بیانگر رابطه میان خصلت یونی پیوندها و اختلاف الکترونگاتیوی عنصرها است. اختلاف الکترونگاتیوی میان

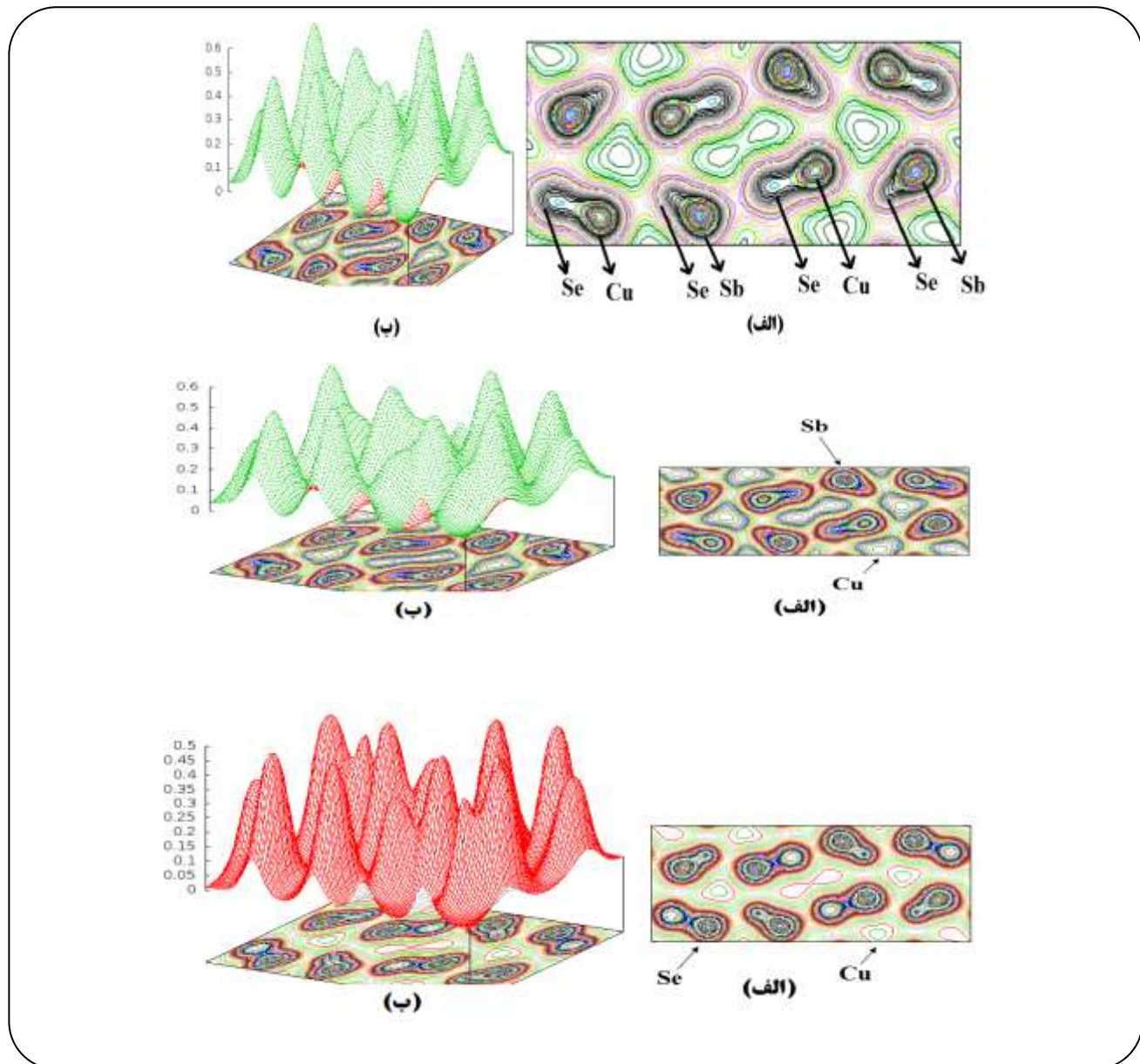
جدول ۸ - اختلاف الکترونگاتیوی عناصر تشکیل دهنده ترکیب‌های  $\text{CuSbTe}_2$ ,  $\text{CuSbSe}_2$ ,  $\text{CuSbS}_2$  و  $\text{CuSb}$ 

عنصر	Cu	Sb	Se	S	Te
الکترونگاتیوی	۱/۹۰	۲/۰۵	۲/۵۵	۲/۵۸	۲/۱۰
اختلاف الکترونگاتیوی					
$\Delta_{\text{el}}(\text{Cu-Sb})$	$\Delta_{\text{el}}(\text{Cu-Se})$	$\Delta_{\text{el}}(\text{Sb-Se})$	$\Delta_{\text{el}}(\text{Cu-S})$	$\Delta_{\text{el}}(\text{S-Sb})$	$\Delta_{\text{el}}(\text{Cu-Te})$
-۰/۱۵	-۰/۶۵	-۰/۵۰	-۰/۶۸	-۰/۰۳	-۰/۲۰
					-۰/۰۵

شکل ۷ - نمودار چگالی ابرالکترونی در صفحه (۱۱۲) در دو بعد با تقریب MBJ برای ترکیب (الف)  $\text{AgGaSe}_2$ , (ب)  $\text{AgGaS}_2$  و (ج)  $\text{AgGaTe}_2$ 

حالات اتفاق افتاده برای ترکیب‌های  $\text{AgGaX}_2$  ( $X=\text{S}, \text{Se}, \text{Te}$ ) است. همچنین پارامترهای شبکه ترکیب‌ها  $\text{CuSbX}_2$  ( $X=\text{Se}, \text{S}, \text{Te}$ ) با افزایش عدد اتمی عنصر  $X$  افزایش می‌یابد. همچنین گاف نواری برای ترکیب‌های  $\text{CuSbS}_2$  و  $\text{CuSbSe}_2$  به ترتیب  $0/۸۱$  و  $0/۹۳$  الکترون‌ولت می‌باشد. علاوه بر این چگالی حالت‌های کل بیان گر مشارکت کمتر اربیتال  $s$  اتم آنتیموان نسبت به اربیتال‌های  $p$  اتم‌های دیگر در نوار رسانش و ظرفیت است، اما اربیتال‌های  $s$ ,  $\text{Se}$ ,  $\text{S}$  و  $\text{Te}$  سهم بیشتری در نوارهای رسانش و ظرفیت دارند. همچنین محاسبه‌های چگالی ابرالکترونی در حالت انبوه وجود پیوندهای کووالانسی در این ترکیب‌ها را پیش‌بینی می‌نماید. در کل نتیجه‌های به دست آمده با داده‌های موجود سازگار می‌باشد.

ترکیب‌های  $\text{AgGaX}_2$  و  $\text{CuSbX}_2$  با استفاده از تقریب‌های گوناگون بررسی شده است. با توجه به نتیجه‌های به دست آمده در هر سه ترکیب  $\text{AgGaX}_2$  بالافرازیش شاعع آنیون  $X$ ، گاف نواری، مدول انبوه کاهش و ثابت‌های شبکه و تراکم‌پذیری افزایش می‌یابد. نتیجه‌های به دست آمده از چگالی حالت‌ها بیانگر این است که اربیتال‌های اتم گالیوم مشارکت کمتری نسبت به سه اتم دیگر دارد و اربیتال  $d$  اتم نقره بیشترین سهم در حالت‌های الکترونی دارد. همچنین گاف نواری دو ترکیب  $\text{CuSbS}_2$  و  $\text{CuSbSe}_2$  با جانشینی عنصر سلنیوم به جای گوگرد افزایش می‌یابد، یعنی با افزایش شاعع آنیون  $X$  در ترکیب‌های  $\text{CuSbX}_2$  گاف نواری افزایش می‌یابد که بر عکس



شکل ۸ - چگالی ابر الکترونی ترکیب‌های در(الف) دو بعد و (ب) سه بعد.

تاریخ دریافت: ۱۳۹۶/۸/۱؛ تاریخ پذیرش: ۱۳۹۶/۱۱/۱۶

## مراجع

- [1] Frank H., [Theoretical Investigation of the Electronic Energy band Structure of Solids, Reviews of Modern Physics](#), **30**: 102-121 (1958).
- [2] Grass G., Rensing C., Solioz M., [Metallic Copper as an Antimicrobial Surface, Applied and Environmental Microbiology](#), **77**: 1541-1547 (2011).

- [3] Karaagac H., Parlak M., **Deposition of AgGaS<sub>2</sub> Thin Films by Double Source Thermal Evaporation Technique**, *J Mater Sci : Mater Electron*, **22**: 1426–1432 (2011).
- [4] Bai L., Lin Z., Wang Z., Chen C., Lee M.-H., **Mechanism of Linear and Nonlinear Optical Effects of Chalcopyrite AgGaX<sub>2</sub> (X=S, Se, and Te) Crystals**, *Journal of Chemical Physics*, **120**: 8772-8778 (2004).
- [5] Tinoco T., Polian A., It J.P., Moya E., Gonzalez J., **Equation of State and Phase Transitions in AgGaS<sub>2</sub> and AgGaSe<sub>2</sub>**, *Journal of Physics and Chemistry of Solids*, **56**: 481-484 (1995).
- [6] Chemla D.S., Kupecek P.J., **Silver Thiogall ate, A New Material with Potential for Infrared Devices**, *Optics Communications*, **3**: 29-31 (1971).
- [7] J.L. Shay, Tell B., Kasper H.M., Schiavone L.M., **Electronic Structure of AgInSe<sub>2</sub> and CuInSe<sub>2</sub>**, *Physical Review B*, **7**: 4485-4490 (1973).
- [8] Campe H.v., **Growth and Electrical Properties of AgGaS<sub>2</sub> Thin Films**, *Thin Solid Films*, **111**: 17-35 (1984).
- [9] Merschjann C., Mews M., Mete T., Karkatzinou A., Rusu M., Korzun B., Schorr S., Schubert-Bischoff P., Seeger S., Schedel-Niedrig T., Lux-Steiner M., **AgGaSe<sub>2</sub> Thin Films Grown by Chemical Close-Spaced Vapor Transport for Photovoltaic Applications: Tructural, Compositional and Optical Properties**, *Journal of Physics: Condensed Matter*, **24**: 17580-17587 (2012).
- [10] Kumar M., Persson C., **CuSbS<sub>2</sub> and CuBiS<sub>2</sub> as Potential Absorber Materials for Thin-Film Solar Cells**, *Journal of Renewable and Sustainable Energy*, **5**: 031616 -6 (2013).
- [11] Belhadj M., Tadjer A., Abbar B., Bousahla Z., Aourag H., **Structural, Electronic and Optical Calculations of Cu(In, Ga)Se<sub>2</sub> Ternary Chalcopyrites**, *Physica Status Solidi (b)*, **241**: 2516-2528 (2004).
- [12] Soliman L.I., Aboel A.M., Sammer A El Ghfar, **Structural and Electrical Properties of CuSbTe<sub>2</sub>, CuSbSe<sub>2</sub> and CuSbS<sub>2</sub> Chalcogenide This Films**, *Fizika A*, **11** (4): 139-152 (2002).
- [13] Blaha P., Schwarz K., Madsen G.K.H., Kvasnicka D., Luitz J., **An augmented Plane-Wave + Local Orbitals Program for Calculating Crystal Properties** (Vienna University of Technology, Vienna, Austria, 1999).
- [14] Langreth D. C., Perdew J. P., **Theory of Nonuniform Electronic Systems. I. Analysis of the Gradient Approximation and a Generalization that Works**, *Physical Review B*, **21**: 5469 -5493 (1980).
- [15] Perdew J.P., Wang Y., **Accurate and Simple Analytic Representation of the Electron-Gas Correlation Energy**, *Physical Review B*, **45**: 13244-13249 (1992).
- [16] Slater J.C., **Wave Functions in a Periodic Potential**, *Physical Review*, **51**: 846-851 (1937).
- [17] Chahed A., Benhalal O., Laksari S., Abbar B., Bouhafs B., Amrane N., **First-Principles Calculations of the Structural, Electronic and Optical Properties of AgGaS<sub>2</sub> and AgGaSe<sub>2</sub>**, *Physica B: Condensed Matter*, **367**: 142-151 (2005).

- [18] Chen S., Gong X.G., Wei S.-H., Band-Structure Anomalies of the Chalcopyrite Semiconductors CuGaX<sub>2</sub> Versus AgGaX<sub>2</sub> (X=S and Se) and Their Alloys, *Physical Review B*, **75**: 205209-205218 (2007).
- [19] Andersen O.K., Linear Methods in Band Theory, *Physical Review B*, **12**: 3060-3083 (1975).
- [20] Y. M. Ori, K. Takara, S. Iwamoto, S. Minomur, E. Niwa, K. M. b, High Pressure Structural Study of I-III-VI<sub>2</sub> Chalcopyrites, *Physica Status Solidi*, **198**, 427-431 (1996).
- [21] Bai L., Lin Z., Wang Z., Chen C., Mechanism of Linear and Nonlinear Optical Effects of Chalcopyrite AgGaX<sub>2</sub> (X=S, Se, and Te) Crystals, *Journal of Chemical Physics*, **120**: 27-29 (2004).
- [22] Becke A.D., Roussel M. R., Exchange Holes in Inhomogeneous Systems: A Coordinate-Space Model, *Physical Review A*, **39**: 3761-3767 (1989).
- [23] Colombara D., Peter L.M., Rogers K.D., Painter J.D., Roncallo S., Formation of CuSbS<sub>2</sub> and CuSbSe<sub>2</sub> Thin Films via Chalcogenisation of Sb-Cu Metal Precursors, *Journal of Thin Solid Films*, **519**: 7438-7443(2011).
- [24] Pauling L., The Nature of the Chemical Bond and the Structure of Molecules and Crystals: An Introduction to Modern Structural Chemistry, Cornell University Press, **18**: 301-309 (1960).